

ТЕОРИЯ ЧАСТОТНО-МОДУЛЯЦИОННОЙ СПЕКТРОСКОПИИ КОГЕРЕНТНЫХ ТЕМНЫХ РЕЗОНАНСОВ

Ю. В. Владимирова^a, Б. А. Гришанин^{a}, В. Н. Задков^a,*
В. Бъянкалана^b, Д. Бевилаква^b, Й. Данчева^b, Л. Мой^b

^aМеждународный лазерный центр Московского государственного университета им. М. В. Ломоносова
119899, Москва, Россия

^bУниверситет Сиены
53100, Сиена, Италия

Поступила в редакцию 21 марта 2006 г.

Впервые выполнен теоретический анализ взаимодействия трехуровневого атома в Λ -конфигурации с частотно-модулированным (ЧМ) полем. Представлена и проанализирована двухчастотная модель для решения задачи ЧМ-спектроскопии когерентных темных резонансов на примере трехуровневой Λ -системы. Эффективность двухчастотной модели продемонстрирована путем сравнения результатов, полученных с ее помощью, с результатами решения точной задачи о взаимодействии Λ -системы с ЧМ-полем, решаемой при помощи метода матрицы плотности. Показано, что простая двухчастотная модель соответствует точному решению и качественно согласуется с данными экспериментов.

PACS: 42.50.Hz, 42.50.Gy

1. ВВЕДЕНИЕ

Эффект когерентного пленения населенностей (КПН) широко используется в различных приложениях, таких как магнитометрия, метрология и других [1–5]. Наиболее ярко этот эффект проявляется в трехуровневой системе для Λ -переходов между двумя близко расположеннымными долгоживущими уровнями, оптически связанными с третьим короткоживущим уровнем с помощью двух непрерывных когерентных полей (вставка на рис. 1). В спектре поглощения когерентная суперпозиция близко расположенных уровней приводит к очень узкому провалу на фоне линии поглощения или, что эквивалентно, к темному резонансу в случае наблюдения резонансной флуоресценции.

Для трехуровневой модели явление КПН может быть полностью описано аналитически и соответствующие ссылки приведены в обзоре Аримондо [6]. В случае многоуровневых систем модель становится значительно сложнее — усложнение энергетической структуры многоуровневых атомов, особенно в

присутствии внешних магнитных полей, приводит к существенной модификации резонансных зависимостей от параметров действующих полей, вследствие чего получение аналитических результатов в большинстве случаев становится невозможным [7].

Традиционная экспериментальная техника для наблюдения спектров темных резонансов с использованием двух резонансных лазерных полей в настоящее время широко используется для многих приложений. Однако необходимо развитие более простой экспериментальной техники для спектроскопии темных резонансов в многоуровневых атомах, которая будет использовать, например, только одно лазерное поле, но модулированное по частоте (ЧМ). Такие эксперименты проводятся в группе Луиджи Моя в Университете Сиена в Италии [8], и они фактически инициировали данное исследование по теории ЧМ-спектроскопии темных резонансов.

Модуляционные методы активно начали развиваться применительно к оптической спектроскопии в начале 80-х годов прошлого столетия. Уже хорошо известные к тому времени в микроволновой спектроскопии и спектроскопии ядерного магнитного резонанса

*E-mail: grishan@comsim1.phys.msu.ru

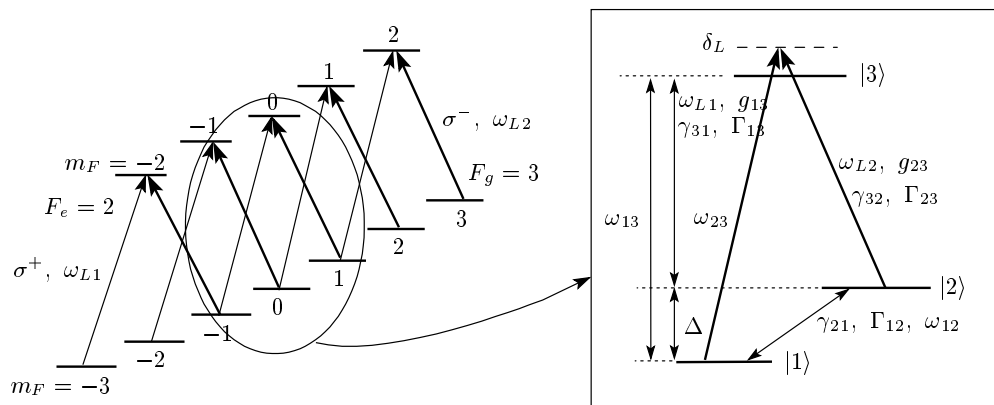


Рис. 1. Л-системы, формируемые зеемановскими подуровнями на переходах $F_g = 3 \rightarrow F_e = 2$, индуцированных σ^+ - и σ^- -компонентами лазерного поля с соответствующими частотами ω_{L1} и ω_{L2} , разность которых равна расстоянию между зеемановскими подуровнями с $\Delta m_F = 2$. На вставке показана схема трехуровневой системы в Л-конфигурации и параметры: ω_{L1} , ω_{L2} — частоты лазерных полей, действующих на переходы в системе; g_{13} , g_{23} — частоты Раби; δ_L — лазерная расстройка от перехода $|1\rangle \leftrightarrow |3\rangle$; γ_{31} , γ_{32} — скорости распада из возбужденного состояния $|3\rangle$ на низколежащие уровни $|1\rangle$ и $|2\rangle$; γ_{12} и ω — соответственно скорости распада и накачки уровня $|1\rangle$ через уровень $|2\rangle$; Γ_{13} , Γ_{23} и Γ_{12} — соответственно скорости дефазировки переходов $|1\rangle \leftrightarrow |3\rangle$, $|2\rangle \leftrightarrow |3\rangle$, $|1\rangle \leftrightarrow |2\rangle$

нанса ЧМ-методы получили новое развитие в лазерной спектроскопии и широко используются для стабилизации лазеров. Оптическая ЧМ-спектроскопия в настоящее время продолжает играть центральную роль в прецизионных измерениях в таких областях физики как детектирование гравитационных волн, стандарты частоты, измерение слабых магнитных полей и др. (см. обзор [9] и ссылки в нем).

Несмотря на значительный прогресс в развитии техники оптической ЧМ-спектроскопии, теоретические модели были детально разработаны и изучены только для двухуровневых систем, которые позволяют выполнить анализ аналитически [9]. Теоретический же анализ многоуровневых, в простейшем случае трехуровневых, систем, взаимодействующих с ЧМ-полем (полями), который и представляет интерес в нашем случае, на настоящий момент по нашим сведениям в литературе отсутствует.

В данной работе мы приводим результаты теоретического анализа ЧМ-спектроскопии когерентных темных резонансов, который позволяет строить эффективные модели простых систем, взаимодействующих с ЧМ-полем, и рассчитывать их динамику и спектральные зависимости. Модель в общем случае применима к Л-системам, у которых в качестве основного состояния могут быть выбраны либо сверхтонкие подуровни, либо зеемановские подуровни одного сверхтонкого уровня. В расчетах же, проводимых в данной работе, основным состоянием Л-системы являются зеемановские подуровни

одного сверхтонкого уровня. Для простоты изложения мы вынуждены будем ограничиться рассмотрением отдельной трехуровневой Л-системы, взаимодействующей с ЧМ-полем, чтобы на ее примере выявить наиболее существенные особенности взаимодействия Л-систем с ЧМ-полем. Дальнейшее обобщение модели на многоуровневые системы, например цепочки Л-систем, формируемых зеемановскими подуровнями в приложенном магнитном поле (см. рис. 1), является прозрачным и может быть легко выполнено при численном моделировании.

Суть представленной двухчастотной модели взаимодействия Л-системы с ЧМ-полем сводится к рассмотрению взаимодействия системы с двумя монохроматическими полями, эффективно заменяющими взаимодействие с ЧМ-полем. Для контроля полученных результатов были также рассчитаны спектры поглощения ЧМ-поля путем решения точного уравнения для матрицы плотности, описывающей взаимодействие системы с истинным ЧМ-полем.

Статья организована следующим образом. В разд. 2 приведены основные результаты теории КПН в рамках простейшей трехуровневой модели в Л-конфигурации. Особенности поведения Л-системы, взаимодействующей с ЧМ-полем, рассмотрены в разд. 3. В разд. 4 изложена используемая математическая техника расчета резонансов КПН в случае взаимодействия Л-системы с двумя полями, упрощенная двухчастотная модель взаи-

модействия Λ -системы с ЧМ-полем и результаты ее применения. В разд. 5 приведены результаты расчета спектров поглощения путем решения точного уравнения для матрицы плотности. Основные выводы содержатся в разд. 6.

2. ЭФФЕКТ КОГЕРЕНТНОГО ПЛЕНЕНИЯ НАСЕЛЕННОСТЕЙ В Λ -СИСТЕМЕ ПРИ БИГАРМОНИЧЕСКОМ ВОЗБУЖДЕНИИ ДВУМЯ МОНОХРОМАТИЧЕСКИМИ ПОЛЯМИ

В простейшей трехуровневой системе атомных переходов в Λ -конфигурации два нижних долгоживущих уровня $|1\rangle$ и $|2\rangle$ с частотным расщеплением ω_{12} связаны с верхним возбужденным энергетическим уровнем $|3\rangle$ двумя световыми полями (рис. 1). Если переход $|1\rangle \leftrightarrow |2\rangle$ в дипольном приближении запрещен и два монохроматических поля $E_1 \exp(-i\omega_{L1}t - i\varphi_1)$, $E_2 \exp(-i\omega_{L2}t - i\varphi_2)$ находятся в резонансе с соответствующими переходами $|1\rangle \leftrightarrow |3\rangle$, $|2\rangle \leftrightarrow |3\rangle$, то в результате квантовой интерференции формируется узкий резонанс КПН. Он проявляется в спектре поглощения как резкий минимум, когда одно из действующих полей, например ω_{L1} , сканируется и рамановская расстройка $\delta_R = \omega_{L1} - \omega_{L2} - \omega_{12}$ проходит через соответствующее точному резонансу нулевое значение.

Для описания динамики взаимодействия Λ -системы с полем следует использовать представление взаимодействия с гамильтонианом невозмущенного движения

$$\mathcal{U}_0(t) = \exp \left[-(i/\hbar) \hat{\mathcal{H}}_0 t \right],$$

где

$$\hat{\mathcal{H}}_0 = \hbar(\omega_{L1}|3\rangle\langle 3| - \Delta|2\rangle\langle 2|),$$

а $\Delta = \omega_{L2} - \omega_{L1} \approx \omega_{12}$ — расстройка лазерных полей. Для обсуждения основных эффектов КПН полезно записать гамильтониан взаимодействия атом—поле в базисе «светлого» и ортогонального ему «темного» состояний, соответственно

$$|+\rangle = g_\Lambda^{-1} (g_{13} e^{-i\varphi_1} |1\rangle + g_{23} e^{-i\varphi_2} |2\rangle),$$

$$|-\rangle = -g_\Lambda^{-1} (g_{23} e^{-i\varphi_1} |1\rangle - g_{13} e^{-i\varphi_2} |2\rangle).$$

В приближении вращающихся волн [10] гамильтониан взаимодействия приводится к виду

$$\begin{aligned} \hat{\mathcal{H}}_\Lambda = \hbar & \left[\left(\delta_L + \delta_R \frac{g_{13}^2}{g_\Lambda^2} \right) |+\rangle\langle+| + \right. \\ & \left. + \left(\delta_L + \delta_R \frac{g_{23}^2}{g_\Lambda^2} \right) |-\rangle\langle-| \right] + \\ & + \hbar \delta_R \frac{g_{13}g_{23}}{g_\Lambda^2} \left[e^{i(\varphi_1 - \varphi_2)} |+\rangle\langle-| + \text{H.c.} \right] + \\ & + \frac{\hbar g_\Lambda}{2} (|+\rangle\langle 3| + \text{H.c.}). \end{aligned} \quad (1)$$

В базисе $\{|3\rangle, |+\rangle, |-\rangle\}$ соответствующие гамильтониану взаимодействия матрицы примут вид

$$\begin{aligned} H_\Lambda = & \begin{pmatrix} 0 & \hbar g_\Lambda / 2 & 0 \\ \hbar g_\Lambda / 2 & \hbar \delta_L & 0 \\ 0 & 0 & \hbar \delta_L \end{pmatrix} + \frac{\hbar \delta_R}{g_\Lambda^2} \times \\ & \times \begin{pmatrix} 0 & 0 & 0 \\ 0 & g_{13}^2 & g_{13}g_{23}e^{i(\varphi_1 - \varphi_2)} \\ 0 & g_{13}g_{23}e^{-i(\varphi_1 - \varphi_2)} & g_{23}^2 \end{pmatrix}. \end{aligned} \quad (2)$$

Осцилляции между состоянием $|+\rangle$ и возбужденным состоянием $|3\rangle$ происходят с эффективной частотой Раби $g_\Lambda = \sqrt{g_{13}^2 + g_{23}^2}$, само состояние в приближении вращающихся волн не осциллирует. При $\delta_R = 0$ матрица (2) распадается на прямую сумму матрицы размерностью 2×2 , описывающей двухуровневую систему $|3\rangle \oplus |+\rangle$, которая формируется из возбужденного и «светлого» состояний, и матрицу 1×1 , единственный элемент которой описывает темное состояние. При этом собственные значения гамильтониана (2) равны $\pm g_\Lambda / 2$, 0 и соответствуют прецессии между уровнями $|+\rangle$ и $|3\rangle$ с частотой Раби g_Λ . Матричный же элемент $\langle 3 | H_\Lambda | - \rangle = 0$, т. е. переходов из «темного» состояния в возбужденное не происходит, что и проявляется в форме резонанса КПН.

3. ВЗАИМОДЕЙСТВИЕ Λ -СИСТЕМЫ С ЧАСТОТНО-МОДУЛИРОВАННЫМ ПОЛЕМ

Взаимодействие трехуровневой Λ -системы с ЧМ-полем даже в отсутствие шумов, как показывают эксперименты, существенно усложняет структуру спектров поглощения. В отличие от рассмотренного выше случая взаимодействия с двумя полями, когда наблюдается один резонанс КПН, при взаимодействии Λ -системы с ЧМ-полем в спектре поглощения наблюдаются дополнительные резонансы. Эксперименты по ЧМ-спектроскопии темных резонансов проводятся со щелочными

атомами (например, Cs, Rb) в слабых магнитных полях. Наличие магнитного поля приводит к усложнению энергетической структуры атомов за счет эффекта Зеемана (рис. 1). Например, переход $F_g = 3 \rightarrow F_e = 2$ в атоме Cs является рабочим в эксперименте [8]. Уровни $F_g = 3$ и $F_e = 2$ расщепляются в магнитном поле на $2F + 1$ подуровней каждый. Пары основных подуровней с $\Delta m_F = 2$ (m_F — магнитное квантовое число) и зеемановские подуровни возбужденного состояния образуют цепочку А-систем. Излучение лазера линейно поляризовано, поэтому А-системы формируются зеемановскими подуровнями на переходах $F_g = 3 \rightarrow F_e = 2$, индуцированных σ^+ - и σ^- -компонентами лазерного поля с соответствующими частотами ω_{L1} и ω_{L2} , разность которых равна расстоянию между зеемановскими подуровнями с $\Delta m_F = 2$. Число А-систем в цепочке зависит от полного углового момента основного состояния. В типичных экспериментах по ЧМ-спектроскопии когерентных темных резонансов в атомах Cs атомная среда находится в однородном магнитном поле, величина напряженности которого порядка 10 мкТл.

Поле в случае гармонической модуляции с модуляционным индексом M и частотой модуляции Ω_{mod} представляет собой суперпозицию гармоник вида:

$$\begin{aligned} E(t) &= E_0 \exp[i(\omega_0 t + M \sin(\Omega_{mod} t))] = \\ &= E_0 \exp(i\omega_0 t) \sum_{n=-\infty}^{\infty} J_n(M) \exp(in\Omega_{mod} t). \end{aligned} \quad (3)$$

Амплитуды соответствующих спектральных компонент пропорциональны функциям Бесселя $J_n(M)$. Рисунок 2 иллюстрирует изменение спектра поля при изменении индекса модуляции M и частоты модуляции Ω_{mod} . Когда частота модуляции Ω_{mod} фиксирована, увеличение индекса модуляции ведет к увеличению числа полос в спектре, расстояние между которыми равно Ω_{mod} .

При взаимодействии А-системы с ЧМ-полем каждая пара частотных компонент спектра дает вклад в резонанс КПН, который наблюдается, когда частотное расстояние между этими компонентами совпадает с зеемановским расщеплением ω_{12} основного состояния (рис. 1), обусловленным присутствием постоянного магнитного поля, т. е. в спектре возникают дополнительные резонансы КПН на частотах, кратных Ω_{mod} . Экспериментально резонансы КПН наблюдаются при сканировании частоты модуляции в небольшом диапазоне вокруг двухфотонного резонанса при фиксированной величине внешнего маг-

нитного поля или при фиксированной частоте модуляции путем сканирования магнитного поля в соответствующем диапазоне [8, 11–13]. Для простоты расчетов в данной работе влияние движения атомов не учитывалось.

4. ДВУХЧАСТОТНАЯ МОДЕЛЬ РАСЧЕТА ЧАСТОТНО-МОДУЛИРОВАННЫХ СПЕКТРОВ РЕЗОНАНСОВ КПН

Рассмотрим задачу о взаимодействии А-системы с ЧМ-полем в рамках двухчастотной модели эффективного поля. Для этой цели выполним сначала расчет лиувиллиана трехуровневого атома в случае двух заданных монохроматических полей, чтобы затем ввести соответствующие параметры поля для эффективной двухчастотной модели.

4.1. Расчет лиувиллиана трехуровневого атома, взаимодействующего с двумя монохроматическими полями

Для описания динамики систем с релаксацией будем использовать супероператорную технику, которая позволяет представить преобразования, соответствующие супероператорам (т. е. операторам, действующим на операторы) в физически наглядной форме с помощью записи супероператоров в символьическом представлении с использованием символа подстановки \odot матрицы плотности [14].

С использованием этой техники временная эволюция системы с релаксацией определяется кинетическим уравнением вида

$$\frac{\partial \rho}{\partial t} = \mathcal{L}_t \hat{\rho} = -\frac{i}{\hbar} [\hat{H}, \hat{\rho}] + \mathcal{L}_r \hat{\rho}, \quad (4)$$

где \mathcal{L}_t — супероператор, описывающий полный лиувиллиан N -уровневого атома. В общем случае в лазерном поле в приближении врачающихся волн он представляется суммой вкладов $\mathcal{L}_t = \mathcal{L}_r + \mathcal{L}_e + \mathcal{L}_\delta + \mathcal{L}_i$, где \mathcal{L}_r , \mathcal{L}_e , \mathcal{L}_i — супероператоры соответственно радиационного затухания, упругой дефазировки и взаимодействия с лазерным полем, а \mathcal{L}_δ — супероператор лазерной расстройки, дополняющий выбранный супероператор невозмущенной эволюции до супероператора свободной динамики атома в нулевом лазерном поле. Последний включает соответствующие расстройки всех действующих лазерных полей с учетом того, что свободная прецессия с частотами этих полей включена в супероператор невозмущенной динамики.

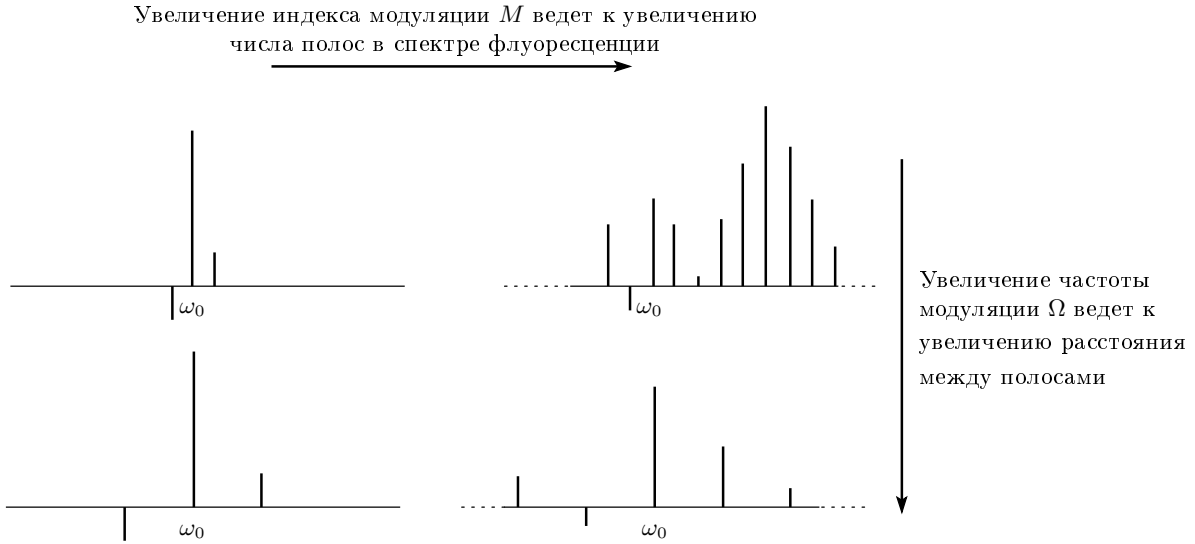


Рис. 2. Модификация спектра ЧМ- поля при изменении частоты модуляции Ω и изменении индекса модуляции M

Супероператор радиационного затухания можно представить в форме Линнблада

$$\mathcal{L}_r = \sum_{kl} \gamma_{kl} \left(\hat{P}_{lk} \odot \hat{P}_{kl} - \frac{1}{2} [\hat{P}_{kk}, \odot]_+ \right),$$

где двумерный массив γ_{kl} описывает скорости спонтанного распада для $k > l$ и накачки для $k < l$. Супероператор упругой дефазировки описывается суммой:

$$\begin{aligned} \mathcal{L}_e = \sum_{k < l} (\mathcal{L}_{in}^{kl} + \mathcal{L}_{ex}^{kl}) = \\ = -\Gamma_{in}^{kl} (\hat{P}_{kk} \odot \hat{P}_{ll} + \hat{P}_{ll} \odot \hat{P}_{kk}) - \Gamma_{ex}^{kl} [\hat{I}_{kl}, \odot]^2, \end{aligned}$$

где Γ_{in}^{kl} , Γ_{ex}^{kl} — скорости дефазировки. Супероператоры лазерной расстройки и взаимодействия с лазерным полем имеют, соответственно, вид

$$\begin{aligned} \mathcal{L}_\delta = i \sum_k \delta_k (\hat{P}_{kk} \odot - \odot \hat{P}_{kk}), \\ \mathcal{L}_i = -\frac{i}{2} \sum_{k < l} \Omega_{kl} [(\hat{P}_{kl} + \hat{P}_{lk}), \odot], \end{aligned}$$

где δ_k — массив частотных расстроек, Ω_{kl} — двумерный массив частот Раби kl -переходов.

Матричные представления $N^2 \times N^2$ -супероператоров \mathcal{L}_t , \mathcal{L}_r , \mathcal{L}_e , \mathcal{L}_i , \mathcal{L}_δ рассчитываются с использованием формулы $L_{mn} = (\hat{e}_m, \mathcal{L}\hat{e}_n)$, где $\{\hat{e}_k\}$ — ортогонализированный базис, а скобки описывают скалярное произведение двух операторов вида $\text{Tr}(\hat{A}^\dagger \hat{B})$, антилинейное по первому сомножителю и линейное по второму.

Базис $\{\hat{e}_k\}$ является эрмитовым и выражается через операторы \hat{P}_{kl} -переходов, представленные матрицами $N \times N$ с единственным ненулевым kl -элементом $P_{kl}(k, l) = 1$. Нумерация уровней выбрана в соответствии с возрастанием их энергий $E_1 \leq E_2 \leq \dots \leq E_N$ и соответствующий базис строится следующим образом:

$$\hat{e}_{j(k,l)} = \begin{cases} \hat{P}_{kk}, & k = l, \\ \frac{\hat{P}_{kl} + \hat{P}_{lk}}{\sqrt{2}}, & k < l, \\ -i \frac{\hat{P}_{kl} - \hat{P}_{lk}}{\sqrt{2}}, & k > l, \end{cases} \quad (5)$$

где $j(k, l)$ — нумерующий индекс, т. е. взаимно-однозначное отображение двумерного множества чисел kl : $k, l = 1, N$ в одномерный индекс $j = 1, N^2$. Он, в частности, может быть конкретизирован следующим, универсальным для любых N , образом:

$$j = \begin{cases} k, & k = l, \\ (2k-1)N - (k+1)^2 + k + 2l, & k < l, \\ (2l-1)N - (l+1)^2 + l + 2k + 1, & k > l. \end{cases}$$

4.2. Расчет средних значений

Среднее значение оператора произвольной динамической переменной \hat{A} в представлении взаимодействия записывается в виде

$$\langle \hat{A}(t) \rangle = \text{Tr} S_t(t) \hat{\rho}_0 \mathcal{U}_0^{-1}(t) \hat{A} \mathcal{U}_0(t), \quad (6)$$

где

$$S_t = \exp(\mathcal{L}_t t), \quad \mathcal{L}_t = \mathcal{L}_r + \mathcal{L}_e + \mathcal{L}_i + \mathcal{L}_\delta$$

— полный супероператор возмущенной эволюции и соответствующий ей лиувиллиан. Равновесные значения атомных переменных при этом задаются выражением

$$\langle \hat{A} \rangle = \text{Tr } \hat{\rho}_{st} \hat{A}(t) = \langle 0 | \hat{A}(t) \rangle, \quad (7)$$

где $\hat{\rho}_{st}$ — стационарная матрица плотности, $\langle 0 |$ — соответствующий ей вектор при матричном представлении супероператоров. Векторное представление $\langle 0 |$ стационарной матрицы плотности $\langle \hat{\rho}_{st} |$ рассчитывается из уравнения

$$\langle 0 | \mathcal{L}_t = 0. \quad (8)$$

Основные свойства эффекта КПН, как известно, определяются величиной поглощения приложенного поля, которое пропорционально среднему значению оператора населенности возбужденного уровня $\hat{A}(t) \equiv n_3$ в случае трехуровневой Л-системы. Зависимость этой величины от времени в адиабатическом приближении определяется нестационарностью квазиравновесного состояния $\langle 0 |$, зависящего от времени в случае нестационарности лиувиллиана \mathcal{L}_t , обусловленной, например, флуктуациями приложенного поля.

4.3. Расчет лиувиллиана трехуровневого атома в случае частотно-модулированного поля

Задачу о взаимодействии Л-системы с ЧМ-полем можно свести к задаче о взаимодействии системы с двумя эффективными полями с использованием описанного ниже приближения. При этом следует исходить из того, что основной интерес представляет за-

висимость населенности $n_3(\omega_{12}) = \langle 0 | \hat{n}_3 \rangle$ возбужденного состояния от величины расщепления основного состояния ω_{12} .

Спектр ЧМ- поля (3) состоит из эквидистантных компонент на частотах $\omega_0 + n\Omega_{mod}$, расстояние между которыми равно частоте модуляции Ω_{mod} (рис. 3). Для данного значения ω_{12} будем выбирать из всего спектра ЧМ- поля две частотных компоненты. Первая — $\omega_{n_1} = n_1\Omega_{mod}$ с номером n_1 (n_1 — целое число), для которой максимально эффективен однофотонный резонанс на переходе 1–3, т. е. принимает максимальное значение величина

$$\frac{(g_{13}J_{n_1}(M))^2}{\gamma_{31}^2 + (\omega_{n_1} - \omega_{13})^2},$$

и вторая компонента $\omega_{n_2} = n_2\Omega_{mod}$ с номером n_2 (n_2 — целое число), для которой максимально эффективен однофотонный резонанс на переходе 2–3, т. е. максимальна величина

$$\frac{(g_{23}J_{n_2}(M))^2}{\gamma_{32}^2 + (\omega_{n_2} - \omega_{23})^2}.$$

Поскольку при изменении величины расщепления основного состояния ω_{12} изменяется расстояние ω_{13} и ω_{23} соответственно между уровнями 1–3 и 2–3, для каждого значения ω_{12} такая замена сводит ЧМ-спектр к двум зависящим от ω_{12} наиболее эффективным компонентам с номерами n_1 и n_2 , дающим максимальный вклад в формирование резонанса КПН.

Лиувиллиан \mathcal{L}_t в матричном представлении в базисе (5) в случае данной двухчастотной модели имеет вид

$$L_t = \left(\begin{array}{ccc|cc|cc|cc} -w & \gamma_{12} & \gamma_{31} & 0 & 0 & 0 & \frac{g'_{13}}{\sqrt{2}} & 0 & 0 \\ w & -\gamma_{12} & \gamma_{32} & 0 & 0 & 0 & 0 & 0 & \frac{g'_{23}}{\sqrt{2}} \\ 0 & 0 & -\gamma_{31} - \gamma_{32} & 0 & 0 & 0 & -\frac{g'_{13}}{\sqrt{2}} & 0 & -\frac{g'_{23}}{\sqrt{2}} \\ \hline 0 & 0 & 0 & A & B - \omega_{12} & 0 & \frac{g'_{23}}{2} & 0 & \frac{g'_{13}}{2} \\ 0 & 0 & 0 & -B + \omega_{12} & A & -\frac{g'_{23}}{2} & 0 & \frac{g'_{13}}{2} & 0 \\ \hline 0 & 0 & 0 & 0 & \frac{g'_{23}}{2} & C & \delta_L & 0 & 0 \\ -\frac{g'_{13}}{\sqrt{2}} & 0 & \frac{g'_{13}}{\sqrt{2}} & -\frac{g'_{23}}{2} & 0 & -\delta_L & C & 0 & 0 \\ \hline 0 & 0 & 0 & 0 & -\frac{g'_{13}}{2} & 0 & 0 & D & \delta_L - B \\ 0 & -\frac{g'_{23}}{\sqrt{2}} & \frac{g'_{23}}{\sqrt{2}} & -\frac{g'_{13}}{2} & 0 & 0 & 0 & -\delta_L + B & D \end{array} \right), \quad (9)$$

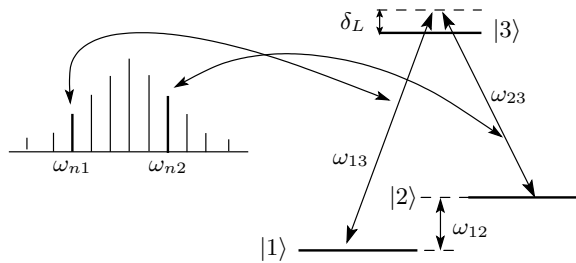


Рис. 3. В двухчастотной модели ЧМ-спектр заменяется на два эффективных монохроматических поля с частотами ω_{n1} и ω_{n2} , для которых максимально эффективны однофотонные резонансы на переходах соответственно $|1\rangle \leftrightarrow |3\rangle$ и $|2\rangle \leftrightarrow |3\rangle$

где

$$\begin{aligned} g'_{23} &= g_{23} J_{n_2}(M), \quad g'_{13} = g_{13} J_{n_1}(M), \\ A &= \frac{-\gamma_{12} - w - 2\Gamma_{12}}{2}, \quad B = \omega_{n_1} - \omega_{n_2}, \\ C &= \frac{-2\gamma_{32} - 2\gamma_{31} - 2w}{4}, \quad D = \frac{-2\gamma_{32} - 2\gamma_{31} - 2\gamma_{12}}{4}. \end{aligned}$$

Приведенная матрица L_t имеет блочную структуру, где четыре диагональных блока L_{11} , L_{22} , L_{33} , L_{44} описывают соответственно динамику населенностей n_1 , n_2 , n_3 и когерентностей подсистем $1-2$, $1-3$, $2-3$. Блоки L_{13} , L_{31} и L_{14} , L_{41} и сопряженные им описывают осцилляции Раби соответственно на переходах $1-3$ и $2-3$. Остальные недиагональные блоки описывают межмодовые связи поляризации основного состояния с поляризациями переходов $1-3$, $2-3$.

Решая уравнение (8) для набора значений ω_{12} , получим зависимость населенности $n_3(\omega_{12})$ возбужденного состояния от величины расщепления основного состояния ω_{12} , включающую также и зависимость от однофотонной лазерной расстройки δ_L .

4.4. Расчет спектра поглощения

4.4.1. Случай отсутствия частотной модуляции поля

Для проверки описанного выше метода двух эффективных полей рассмотрим наиболее простой случай взаимодействия А-системы с одним резонансным полем в отсутствие частотной модуляции. Это сводится к тому, что в лиувиллиане (9) индекс модуляции $M = 0$, и на оба перехода действует одно поле $E(t)$. Результаты в отсутствие модуляции легко предсказуемы и проверка их справедливости при использовании расчета ЧМ-спектров методом двух эффективных полей в соответствующем частном слу-

чае ($M = 0$) является естественным инструментом контроля правильности предлагаемого метода.

На рис. 4а приведены зависимости населенности возбужденного состояния от величины лазерной расстройки и величины частотного расщепления основного состояния ω_{12} , полученные на основе двухчастотной модели. Соответствующие значения параметров выбраны, исходя из эксперимента [8]. Оценим ширину резонанса по формуле [6]

$$\Delta_0 = \Gamma + \frac{\Omega^2}{\gamma}, \quad (10)$$

где Γ — скорость поперечной релаксации между нижними уровнями, $\gamma = \gamma_{31} + \gamma_{32}$. Ширина резонанса, рассчитанная по этой формуле и оцененная из рис. 4а, равна 0.5γ . Из полученного спектра также следует, что в случае взаимодействия А-системы только с одним полем темный резонанс наблюдается, когда система вырождена ($\omega_{12} = 0$), т. е. когда внешнее магнитное поле равно нулю.

4.4.2. Случай частотно-модулированного поля

Пользуясь двухчастотной моделью, описанной выше, мы рассчитали трехмерную зависимость населенности верхнего уровня от величины расщепления основного состояния ω_{12} и лазерной расстройки (рис. 5а). Однако нагляднее рассмотреть сечение, соответствующее условию $\delta_L = 0$, т. е. случай, когда частота поля на переходе $1-3$ находится в точном резонансе с частотой перехода ω_{13} . На рис. 6а приведена зависимость населенности верхнего уровня при $\delta_L = 0$ от величины расщепления основного состояния ω_{12} для значения $M = 10$ при частоте модуляции равной $\Omega_{mod} = 6\gamma$ ($\gamma = 1$ МГц). Из графика следует, что в спектре наблюдаются дополнительные резонансы КПН на частотах, кратных частоте модуляции.

Рассмотрим качественно механизм формирования темных резонансов в спектре А-системы под действием частотно-модулированного лазерного поля (рис. 7). Резонанс КПН формируется, когда расстояние между нижними подуровнями основного состояния ω_{12} в точности равно расстоянию между полосами в спектре излучения, т. е. когда величина расщепления между зеемановскими подуровнями ($\omega_{12} = \omega_1 - \omega_2 = 2\mu_B g_F B$, где μ_B — магнетон Бора, g_F — фактор Ланде, B — напряженность магнитного поля) равна частоте модуляции Ω_{mod} . Все пары компонент, расстояние между которыми равно частоте модуляции Ω_{mod} (например, пара, отмеченная

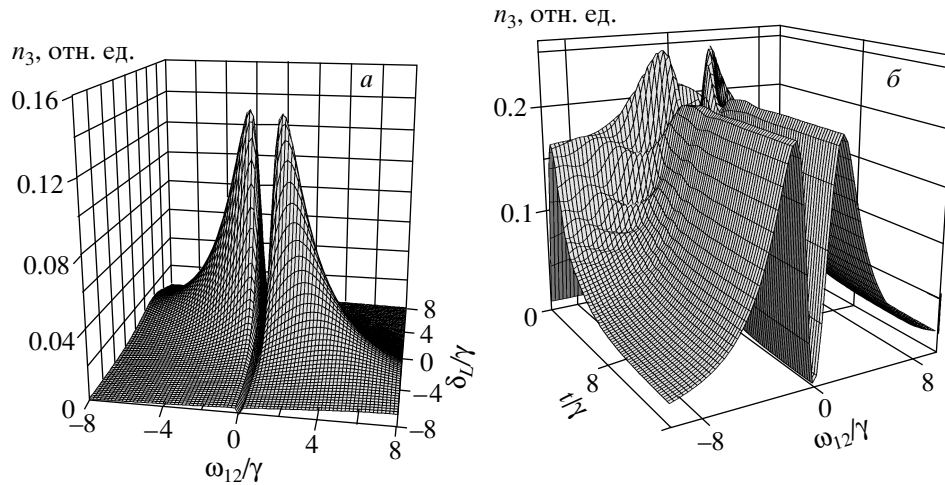


Рис. 4. Зависимости населенности n_3 возбужденного состояния Л-системы, взаимодействующей с одним полем без модуляции ($M = 0$) *a*) от величины лазерной расстройки δ_L и величины частотного расщепления основного состояния ω_{12}/γ , рассчитанные с использованием двухчастотной модели, *б*) от времени и от ω_{12}/γ , полученные при помощи расчета точной динамики Л-системы методом матрицы плотности. В расчетах использовались следующие параметры: $g_{13} = g_{23} = 1$ отн. ед., $\gamma_{31} = \gamma_{32} = \gamma = 1$ отн. ед. (1 отн. ед. = $\gamma = 1$ МГц), остальные релаксационные параметры полагались равными нулю

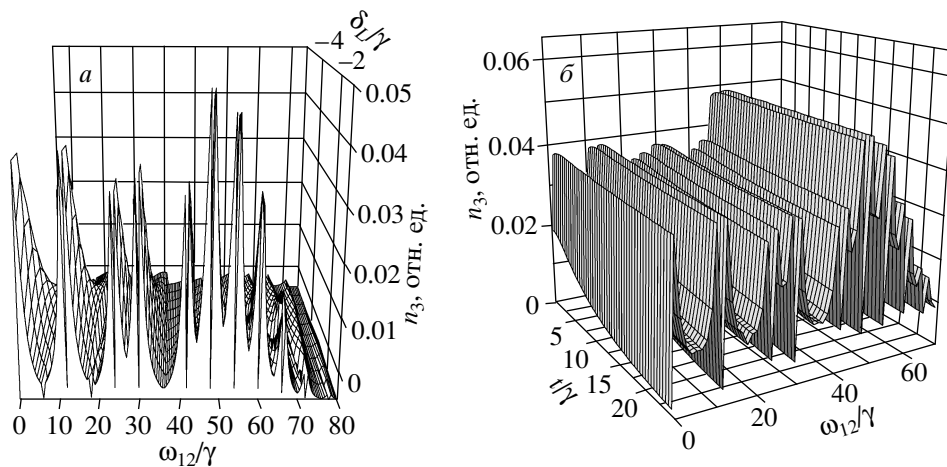


Рис. 5. Зависимости населенности n_3 возбужденного состояния Л-системы, взаимодействующей с ЧМ-полем $M = 10$, Ω_{mod} *a*) от величины лазерной расстройки δ_L и величины частотного расщепления основного состояния ω_{12} , рассчитанные с использованием двухчастотной модели, *б*) от времени и от ω_{12} , полученные при помощи расчета точной динамики Л-системы методом матрицы плотности. В расчетах использовались те же параметры, что и для расчета 4*б*

сплошными стрелками на рис. 7), вносят вклад в резонанс, для которого $\omega_{12} = \Omega_{mod}$. Аналогично, все пары компонент, расстояние между которыми равно удвоенной частоте модуляции $2\Omega_{mod}$ (например, пара, отмеченная пунктирумыми стрелками на рис. 7), вносят вклад в резонанс, для которого $\omega_{12} = 2\Omega_{mod}$, и т. д. Отсюда следует, что расстояние между сосед-

ними резонансами, наблюдаемыми в спектре, равно частоте модуляции Ω_{mod} .

Амплитуды полос в спектре пропорциональны функциям Бесселя $J_n(M)$ при фиксированном индексе модуляции M и стремятся к нулю с увеличением n , поэтому число полос в спектре приблизительно равно M и число реально наблюдаемых резонансов

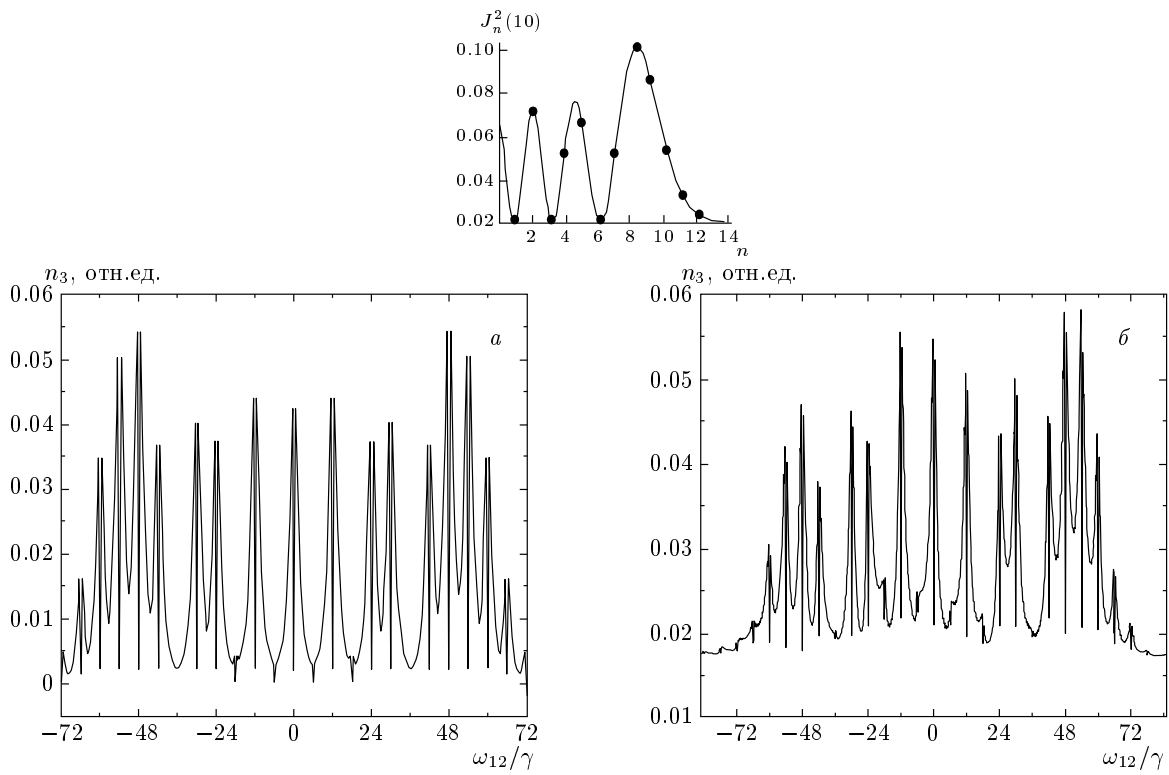


Рис. 6. Населенность возбужденного состояния симметричной Λ -системы в зависимости от ω_{12} для индекса модуляции $M = 10$, частоты модуляции $\Omega_{mod} = 6\gamma$ и частот Раби $g_{13} = g_{23} = 0.8\gamma$. Результаты получены а) с использованием двухчастотной модели, б) при помощи расчета точной динамики Λ -системы методом матрицы плотности. На вставке показан квадрат функции Бесселя $J_n^2(M)$ для $M = 10$

порядка M .

Из рис. 6а следует, что резонансы на определенных частотах практически отсутствуют, так, при $M = 10$ практически отсутствуют резонансы на частотах $\omega_{12} = \pm\Omega_{mod}, \pm 3\Omega_{mod}, \pm 6\Omega_{mod}$. Это объясняется тем, что в случае взаимодействия системы с модулированным полем двухфотонные резонансы КПН наблюдаются на фоне однофотонных. Как было показано, например, в работе [15], зависимость мощности прошедшего через среду модулированного сигнала для данного значения M пропорциональна квадрату функции Бесселя $J_n^2(M)$. Поскольку квадрат функции Бесселя принимает нулевые значения при $n = \pm 1, \pm 3, \pm 6$ для $M = 10$, резонансы на частотах $n\Omega_{mod}$ для этих n практически отсутствуют. Были проведены расчеты для больших значений индекса модуляции порядка 100 и получены аналогичные зависимости: резонансы наблюдаются на тех частотах $n\Omega_{mod}$, кратных частоте модуляции, для которых квадрат функции Бесселя принимает ненулевые значения.

Механизм появления дополнительных резонан-

сов КПН с увеличением индекса модуляции пояснен на рис. 8, где приведена зависимость населенности верхнего уровня от величины расщепления основного состояния ω_{12} при фиксированной частоте модуляции $\Omega_{mod} = 2$ для различных значений индекса модуляции $0 < M < 5$. При $M = 0$ модуляция отсутствует и темный резонанс наблюдается, как и следовало ожидать, при $\omega_{12} = 0$, т. е. когда система вырождена. Дальнейшее увеличение индекса модуляции ведет к появлению дополнительных резонансов при условии, когда $\omega_{12} = n\Omega_{mod}$, $n = \pm 1, \pm 2, \pm 3, \dots$. Это связано с тем, что с увеличением индекса модуляции число боковых полос в спектре, согласно формуле (3), увеличивается.

Расчеты также показывают, что с увеличением скорости распада возбужденного состояния γ относительная величина резонансов и их контраст резко уменьшаются, а с увеличением частоты Раби относительная величина резонансов и их контраст возрастают.

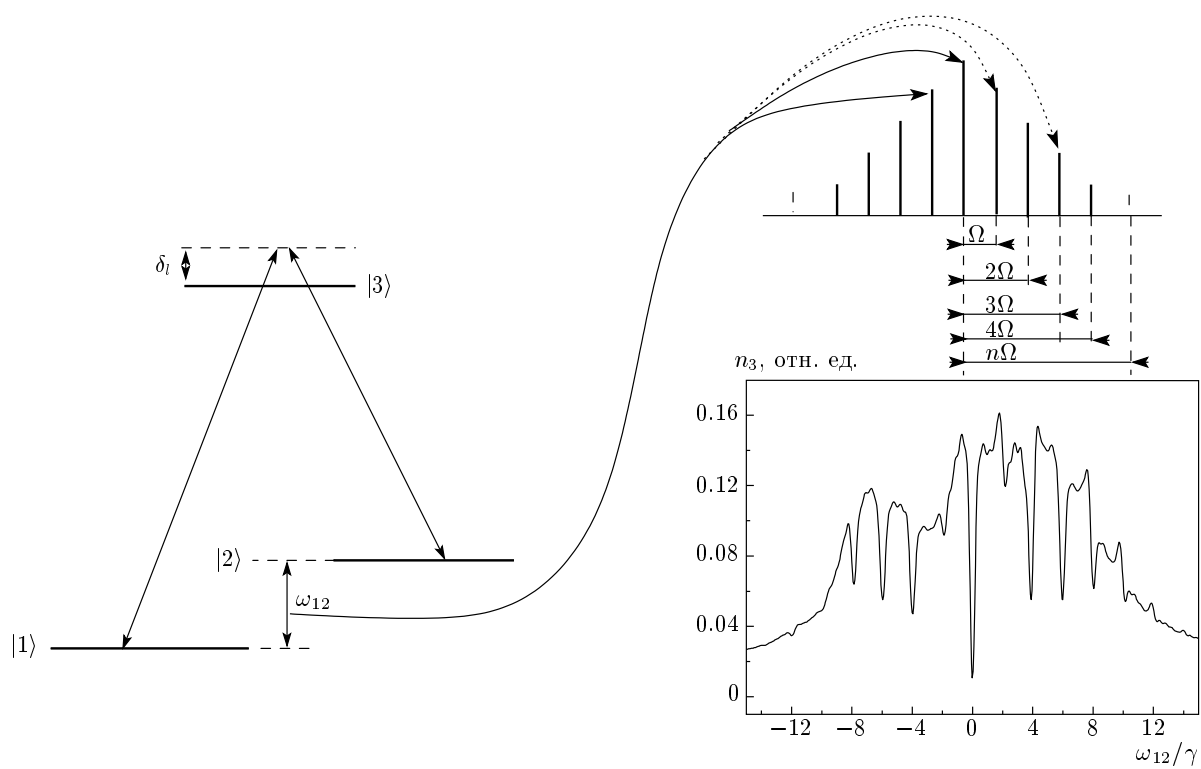


Рис. 7. Механизм формирования темных резонансов в случае Λ -системы, взаимодействующей с частотно-модулированным лазерным полем

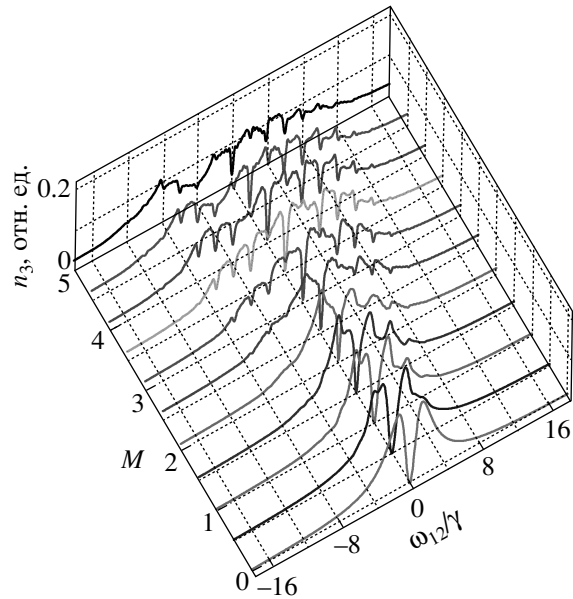


Рис. 8. Населенность возбужденного состояния в зависимости от ω_{12} и модуляционного индекса M . Другие параметры системы равны: $\gamma_{31} = \gamma_{32} = \gamma$, $\Omega_{mod} = 2\gamma$, $g_{13} = g_{23} = 0.8\gamma$, $\gamma = 1$ МГц

5. ТОЧНЫЙ РАСЧЕТ ЧАСТОТНО-МОДУЛИРОВАННЫХ СПЕКТРОВ КПН

Для оценки точности результатов, полученных при помощи простой двухчастотной модели, рассмотрим точную задачу о взаимодействии Λ -системы с ЧМ-полем при помощи метода матрицы плотности, временная эволюция которой определяется кинетическим уравнением вида (4). Гамильтониан взаимодействия Λ -системы с частотно-модулированным полем (3) имеет вид

$$\hat{H} = \begin{pmatrix} 0 & 0 & e^{i\Delta(t)}g_{13} \\ 0 & -\omega_{12} & e^{i\Delta(t)}g_{23} \\ e^{-i\Delta(t)}g_{13} & e^{-i\Delta(t)}g_{23} & \delta_L \end{pmatrix}, \quad (11)$$

где $\Delta(t) = M \sin(\Omega t)$. Подставляя выражение для \mathcal{L}_r и (11) в уравнение (4), мы получаем систему из девяти дифференциальных уравнений, решение которой дает нам, в частности, зависимость $\rho_{33}(t)$, которая описывает изменение населенности возбужденного состояния Λ -системы от времени для данного значения ω_{12} . Рассчитав таким образом населенность для диапазона значений ω_{12} , получим трехмерную зави-

симость, описывающую формирование резонансов КПН во времени для различных значений расщепления основного состояния. Соответствующие расчеты были выполнены нами, и их результаты в сравнении с простой двухчастотной моделью приведены ниже.

По аналогии с п. 4.4 рассмотрим сначала случай, когда система взаимодействует с одним полем (рис. 4б). При $M = 0$ модуляция отсутствует и темный резонанс наблюдается, как и следовало ожидать, при $\omega_{12} = 0$, т. е. когда система вырождена, что полностью совпадает с результатом, полученным с использованием супероператорного подхода (рис. 4а).

Зависимости населенности возбужденного состояния от времени и величины расщепления основного состояния в случае ЧМ-поля, рассчитанные при помощи метода матрицы плотности, приведены на рис. 5б. На рис. 6б приведено сечение $t = 25\gamma^{-1}$, соответствующее режиму, когда резонансы КПН сформировались. Из сравнения графиков на рис. 6а и рис. 6б следует качественное согласие результатов, полученных разными методами. При этом, однако, видно, что метод матрицы плотности не позволяет точно оценить ширину и контраст резонансов, поскольку стационарное состояние достигается при $t \rightarrow \infty$, в то время как в данном методе расчета рассматривается конечный промежуток времени, из-за чего полученные результаты для поглощения завышены.

6. ЗАКЛЮЧЕНИЕ

Нами предложена и проанализирована простая двухчастотная модель для решения задачи ЧМ-спектроскопии темных резонансов на примере трехуровневой Л-системы. Показано, что поскольку спектр ЧМ-поля представляет собой набор эквидистантных частотных компонент, механизм описания взаимодействия Л-системы с ЧМ-полем возможен путем замены ЧМ-спектра на два эффективных монохроматических поля. Применимость и точность двухчастотной модели была продемонстрирована путем сравнения результатов, полученных с ее помощью, с результатами решения точной задачи о взаимодействии Л-системы с ЧМ-полем (разд. 5).

С использованием предложенной двухчастотной модели нами были рассчитаны спектры поглощения Л-системы, взаимодействующей с ЧМ-полем. Показано, что в случае Л-системы, взаимодействующей с одним резонансным полем без модуляции ($M = 0$),

темный резонанс в спектре наблюдается только в случае нулевого расщепления основного состояния, т. е. вырожденной Л-системы. При наличии модуляции в спектре формируются дополнительные резонансы КПН на частотах, кратных частоте модуляции Ω_{mod} , т. е. резонанс формируется, когда межмодовое расстояние $n\Omega_{mod}$ равно зеемановскому расщеплению основного состояния ω_{12} . Число резонансов зависит от индекса модуляции M и увеличивается с его ростом. Для разных значений M интенсивность разных резонансов различна и регулируется аргументами функции Бесселя $J_n(M)$, определяющими амплитуды частотных гармоник. Когда положение резонанса приходится на минимум этой функции, его интенсивность практически равна нулю. Показано, что полученные при помощи двухчастотной модели результаты качественно подтверждают образование в экспериментальных спектрах дополнительных резонансов КПН на частотах, кратных частоте модуляции.

Работа частично поддержана РФФИ (грант № 04-02-17554).

ЛИТЕРАТУРА

1. G. Alzetta, A. Gozzini, L. Moi, and G. Orriols, Nuovo Cimento B **36**, 5 (1976).
2. A. Aspect, E. Arimondo, R. Kaiser, N. Vansteenkiste, and C. Cohen-Tannoudji, Phys. Rev. Lett. **61**, 826 (1996).
3. A. V. Taichenachev, V. I. Yudin, R. Wynands, M. Stahler, J. Kitching, and L. Hollberg, Phys. Rev. A **67**, 033810 (2003).
4. A. Godone, F. Levi, S. Micalizio, and J. Vanier, Phys. Rev. A **62**, 053402 (2000).
5. A. Kasapi, Phys. Rev. Lett. **77**, 1035 (1997).
6. E. Arimondo, in *Progress in Optics*, ed. by E. Wolf, Elsevier, Amsterdam (1996), Vol. 35, p. 257.
7. Ю. В. Владимира, Б. А. Гришанин, В. Н. Задков, Н. Н. Калачевский, А. В. Акимов, Н. А. Кисилев, С. И. Канорский, ЖЭТФ **123**, 710 (2003).
8. C. Andreeva, G. Bevilacqua, V. Biancalana, S. Cartaleva, Y. Dancheva, T. Karaulanov, C. Marinelli, E. Mariotti, and L. Moi, Appl. Phys. B **76**, 667 (2003).

9. G. E. Hall and S. W. North, *Annu. Rev. Phys. Chem.* **51**, 243 (2000).
10. L. Mandel and E. Wolf, *Optical Coherence and Quantum Optics*, Cambridge Univ. Press, Cambridge (1995).
11. G. Bevilacqua, V. Biancalana, E. Breschi, Y. Dancheva, C. Marinelli, E. Mariotti, L. Moi, Ch. Andreeva, T. Karaulanov, and S. Cartaleva, 13th Int. School Quant. Electr.: Laser Phys. and Applications, SPIE Proc. **5830**, 150 (2005).
12. E. B. Alexandrov, M. Azuzinsh, D. Budker, D. F. Kimbal, S. M. Rochester, and V. V. Yashchuk, E-print archives, physics/0405049.
13. Yu. Malakyan, S. M. Rochester, D. Budker, D. F. Kimbal, and V. V. Yashchuk, *Phys. Rev. A* **69**, 013817 (2004).
14. Б. А. Гришанин, *Квантовые случайные процессы*, <http://comsim1.phys.msu.su/people/grishanin/teaching/qsp/>.
15. J. M. Supplee, E. A. Whittaker, and W. Lenth, *Appl. Opt.* **33**, 6294 (1994).